

# A numerical study of the Dirac Spectrum and Transmission Problems employing the Method of Fundamental Solutions

Francisco Bento

Orientado por:

Juha Hans Videman

Pedro Ricardo Simão Antunes

Instituto Superior Técnico - Lisboa, Portugal

11 de Outubro de 2023

# Visão geral do trabalho

- ① O Método das Soluções Fundamentais:
  - Construção;
  - Enriquecimento de base;
- ② O operador de Dirac e um problema de decomposição:
  - Propriedades;
  - Resultados relevantes;
- ③ Simulações Numéricas;
- ④ Discussão e Conclusão.

# Visão geral do trabalho

- 1 O Método das Soluções Fundamentais:
  - Construção;
  - Enriquecimento de base;
- 2 O operador de Dirac e um problema de decomposição:
  - Propriedades;
  - Resultados relevantes;
- 3 Simulações Numéricas;
- 4 Discussão e Conclusão.

# Visão geral do trabalho

- ① O Método das Soluções Fundamentais:
  - Construção;
  - Enriquecimento de base;
- ② O operador de Dirac e um problema de decomposição:
  - Propriedades;
  - Resultados relevantes;
- ③ Simulações Numéricas;
- ④ Discussão e Conclusão.

# Visão geral do trabalho

- 1 O Método das Soluções Fundamentais:
  - Construção;
  - Enriquecimento de base;
- 2 O operador de Dirac e um problema de decomposição:
  - Propriedades;
  - Resultados relevantes;
- 3 Simulações Numéricas;
- 4 Discussão e Conclusão.

# Visão geral do trabalho

- ① O Método das Soluções Fundamentais:
  - Construção;
  - Enriquecimento de base;
- ② O operador de Dirac e um problema de decomposição:
  - Propriedades;
  - Resultados relevantes;
- ③ Simulações Numéricas;
- ④ Discussão e Conclusão.

# O Método das Soluções Fundamentais

# O Método das Soluções Fundamentais

Considere-se o Problema de Valores de Fronteira (BVP em inglês)

$$\begin{cases} \mathcal{L}u(x) = 0, & x \in \Omega \\ \mathcal{B}u(x) = 0, & x \in \Gamma, \end{cases}$$

onde  $\Gamma = \partial\Omega$  e  $\mathcal{B}$  é um operador linear sobre  $\Gamma$ .



# O Método das Soluções Fundamentais

Seja  $\hat{\Omega}$  tal que  $\bar{\Omega} \subset \hat{\Omega}$  com  $\hat{\Gamma} = \partial\hat{\Omega}$ , e  $\mathcal{Y} = \{y_j \in \hat{\Gamma} : j = 1, \dots, N\}$  um conjunto de *pontos fonte* sobre a *fronteira artificial*  $\hat{\Gamma}$ .

No contexto do Método das Soluções Fundamentais (MSF em português, MFS em inglês), consideramos a aproximação

$$\tilde{u}(x) = \sum_{j=1}^N \alpha_j \Phi(x - y_j),$$

onde os coeficientes  $\alpha_j$  podem ser determinados através do operador de fronteira

$$\mathcal{B}\tilde{u}(x) = \sum_{j=1}^N \alpha_j \mathcal{B}\Phi(x - y_j) = 0.$$

# O Método das Soluções Fundamentais

Seja  $\hat{\Omega}$  tal que  $\bar{\Omega} \subset \hat{\Omega}$  com  $\hat{\Gamma} = \partial\hat{\Omega}$ , e  $\mathcal{Y} = \{y_j \in \hat{\Gamma} : j = 1, \dots, N\}$  um conjunto de *pontos fonte* sobre a *fronteira artificial*  $\hat{\Gamma}$ . No contexto do Método das Soluções Fundamentais (MSF em português, MFS em inglês), consideramos a aproximação

$$\tilde{u}(x) = \sum_{j=1}^N \alpha_j \Phi(x - y_j),$$

onde os coeficientes  $\alpha_j$  podem ser determinados através do operador de fronteira

$$\mathcal{B}\tilde{u}(x) = \sum_{j=1}^N \alpha_j \mathcal{B}\Phi(x - y_j) = 0.$$

# O Método das Soluções Fundamentais

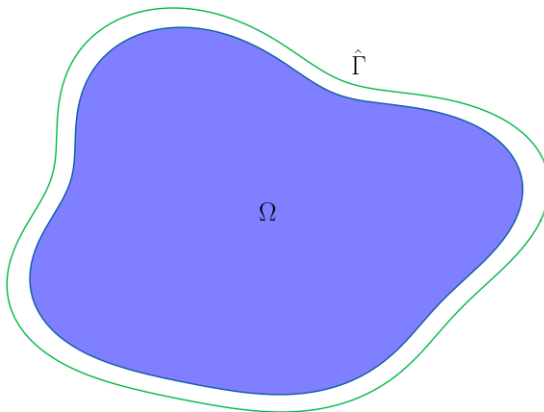


Figura: Um domínio conexo  $\Omega$  com fronteira artificial  $\hat{\Gamma}$ .

# Um método de enriquecimento para a equação de Laplace

Para descrever o comportamento das soluções perto de um canto podemos usar *soluções particulares*, soluções da equação de Laplace em coordenadas polares

$$\left( \partial_r^2 + \frac{1}{r} \partial_r + \frac{1}{r^2} \partial_\theta^2 \right) u(r, \theta) = 0, \quad r > 0, \quad 0 \leq \theta \leq \Theta.$$

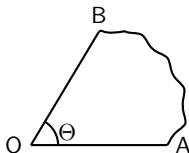


Figura: Um domínio com um canto com ângulo interior  $\Theta$ .

# Um método de enriquecimento para a equação de Laplace

Por separação de variáveis,  $u(r, \theta) = R(r)T(\theta)$ , temos as duas famílias de soluções particulares

$$u(r, \theta) = (c_1 r^\alpha + c_2 r^{-\alpha}) \times (c_3 \cos(\alpha\theta) + c_4 \sin(\alpha\theta)), \quad \alpha > 0$$

ou

$$u(r, \theta) = (c_1 \log(r) + c_2) \times (c_3 \theta + c_4),$$

onde  $c_1, c_2, c_3, c_4 \in \mathbb{R}$  e  $\alpha$  depende das condições de fronteira e de  $\Theta$ .

# Um método de enriquecimento para a equação de Laplace

Expandindo a aproximação com as soluções particulares,

$$\tilde{u}(x) = \sum_{j=1}^N \alpha_j \Phi(x - y_j) + \sum_{s=1}^P \beta_s \phi_s(r(x), \theta(x)), \quad x \in \overline{\Omega},$$

onde  $\phi_s$  é a forma geral de cada solução particular, centrada no canto.

# O operador de Dirac

# O operador de Dirac

Seja  $\Omega \subset \mathbb{R}^2$  um domínio Lipschitz com fronteira  $\Gamma$ , e  $m \geq 0$ . O operador de Dirac é dado pelo Hamiltoniano

$$\hat{H} = \begin{bmatrix} m & -i(\partial_1 - i\partial_2) \\ -i(\partial_1 + i\partial_2) & -m \end{bmatrix}$$

cujo domínio é dado por

$$\text{Dom}(\hat{H}) = \{\mathbf{u} \in H^1(\Omega, \mathbb{C}^2) : u_2 = i(n_1 + in_2)u_1 \text{ em } \Gamma\}.$$

Estudamos a solução  $\mathbf{u} = \begin{bmatrix} u_1(x) \\ u_2(x) \end{bmatrix}$  da equação (de Dirac)

$$\hat{H}\mathbf{u} = \lambda\mathbf{u}$$

em  $\text{Dom}(\hat{H})$ .



# O operador de Dirac

Seja  $\Omega \subset \mathbb{R}^2$  um domínio Lipschitz com fronteira  $\Gamma$ , e  $m \geq 0$ . O operador de Dirac é dado pelo Hamiltoniano

$$\hat{H} = \begin{bmatrix} m & -i(\partial_1 - i\partial_2) \\ -i(\partial_1 + i\partial_2) & -m \end{bmatrix}$$

cujo domínio é dado por

$$\text{Dom}(\hat{H}) = \{\mathbf{u} \in H^1(\Omega, \mathbb{C}^2) : u_2 = i(n_1 + in_2)u_1 \text{ em } \Gamma\}.$$

Estudamos a solução  $\mathbf{u} = \begin{bmatrix} u_1(x) \\ u_2(x) \end{bmatrix}$  da equação (de Dirac)

$$\hat{H}\mathbf{u} = \lambda\mathbf{u}$$

em  $\text{Dom}(\hat{H})$ .

# O operador de Dirac

Após algumas manipulações, a equação de Dirac pode ser transformada na equação de Helmholtz com condições de fronteira de Cauchy-Riemman oblíquas

$$\begin{cases} -\Delta u_1 = (\lambda^2 - m^2)u_1, & \text{em } \Omega \\ i(\partial_1 + i\partial_2)u_1 + (\lambda + m)i(n_1 + in_2)u_1 = 0, & \text{em } \Gamma, \end{cases}$$

e

$$u_2 = \frac{-i(\partial_1 + i\partial_2)u_1}{\lambda + m}.$$

# O operador de Dirac

Neste trabalho, o seguinte teorema é estendido para coordenadas polares, tendo implicações no enriquecimento da base do MSF.

## Teorema

*Seja  $\mathbf{u} \in H^2(\Omega)$  a solução da equação de Dirac com condições de fronteira de massa infinita. Então,  $\mathbf{u}$  não pode ser escrita através de separação de variáveis em retângulos (coordenadas cartesianas) nem em coordenadas polares (na proximidade de um canto).*

# O operador de Dirac (conjeturas a estudar)

## Conjetura (Uma conjetura do tipo Faber-Krahn)

*Seja  $\Omega \subset \mathbb{R}^2$  um domínio Lipschitz. Então,*

$$\lambda_1(\Omega) \geq \lambda_1(\Omega^*)$$

*onde  $\Omega^*$  é o disco com a mesma área ou perímetro de  $\Omega$ .*

## Conjetura (Uma conjetura do tipo Ashbaugh-Benguria)

*Seja  $\Omega \subset \mathbb{R}^2$  um domínio Lipschitz. Então, a solução para o problema de maximização*

$$\max \left\{ \frac{\lambda_2(\Omega)}{\lambda_1(\Omega)} : \Omega \subset \mathbb{R}^2 \right\}$$

*é a bola em  $\mathbb{R}^2$ .*

# O operador de Dirac (conjeturas a estudar)

## Conjetura (Uma conjetura do tipo Faber-Krahn)

Seja  $\Omega \subset \mathbb{R}^2$  um domínio Lipschitz. Então,

$$\lambda_1(\Omega) \geq \lambda_1(\Omega^*)$$

onde  $\Omega^*$  é o disco com a mesma área ou perímetro de  $\Omega$ .

## Conjetura (Uma conjetura do tipo Ashbaugh-Benguria)

Seja  $\Omega \subset \mathbb{R}^2$  um domínio Lipschitz. Então, a solução para o problema de maximização

$$\max \left\{ \frac{\lambda_2(\Omega)}{\lambda_1(\Omega)} : \Omega \subset \mathbb{R}^2 \right\}$$

é a bola em  $\mathbb{R}^2$ .

# O operador de Dirac (conjeturas a estudar)

## Conjetura (Otimização de forma em retângulos)

Seja  $\lambda_1(a, b) = \lambda_1(\Omega_{a,b})$  o primeiro valor próprio do operador de Dirac com condições de massa infinita num retângulo de lados  $a$  e  $b$ . Então,

- ① Restrição de área (unitária):

$$\lambda_1(a, \frac{1}{a}) \geq \lambda_1(1, 1), \quad \forall a > 0;$$

- ② Restrição de perímetro (igual a 4):

$$\lambda_1(a, 2 - a) \geq \lambda_1(1, 1), \quad \forall a \in (0, 2).$$

# O operador de Dirac (conjeturas a estudar)

## Conjetura (Otimização de forma em triângulos)

Considere-se o triângulo  $\Omega_{a,b}$  definindo pelos pontos  $O = (0,0)$ ,  $A = (a,0)$  e  $B = (0,b)$  com  $a, b > 0$  e seja  $\lambda_1(a,b) = \lambda_1(\Omega_{a,b})$ . Então,

### ① Restrição de área

$$\lambda_1(a,b) \geq \lambda_1(k,k), \quad \forall a, b > 0$$

para qualquer  $k$  positivo tal que  $ab = k^2$ ;

### ② Restrição de perímetro

$$\lambda_1(a,b) \geq \lambda_1(k,k), \quad \forall a \in (0, (2 + \sqrt{2})k)$$

e  $\forall b > 0$  tal que  $a + b + \sqrt{a^2 + b^2} = (2 + \sqrt{2})k$ , para qualquer  $k$  positivo.

# O operador de Dirac (conjeturas a estudar)

## Conjetura

*Seja  $\Omega \subset \mathbb{R}^2$  um aberto Lipschitz,  $n \geq 5$  e considere-se a classe dos **polígonos** de  $n$  lados. Então, o polígono regular de  $n$  lados tem o menor primeiro valor próprio entre todos os polígonos de  $n$  lados com área fixa.*



# Um problema de decomposição com condições de transmissibilidade



# Problema de decomposição com condições de transmissibilidade

## Teorema

*As formulações fracas da equação de Poisson e do problema de decomposição com condições de transmissibilidade são equivalentes.*

# Simulações Numéricas

# Simulações Numéricas (operador de Dirac)

Resultados para retângulos com área fixa:

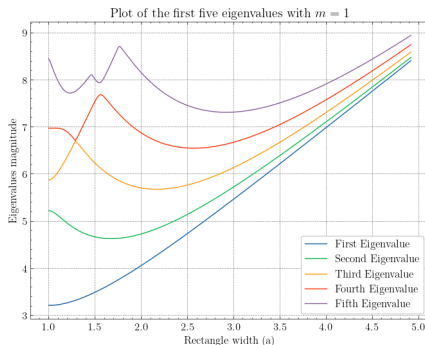


Figura: Comportamento dos primeiros cinco valores próprios para retângulos de área unitária, comprimento  $a$  e  $m = 1$ .

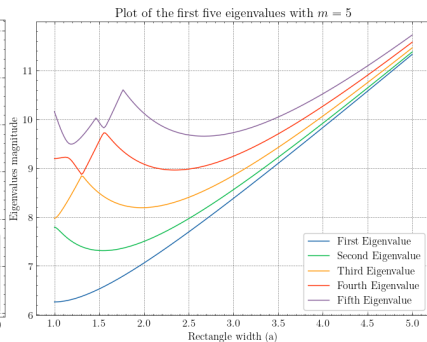


Figura: Comportamento dos primeiros cinco valores próprios para retângulos de área unitária, comprimento  $a$  e  $m = 5$ .

# Simulações Numéricas (operador de Dirac)

Resultados para retângulos com perímetro fixo:

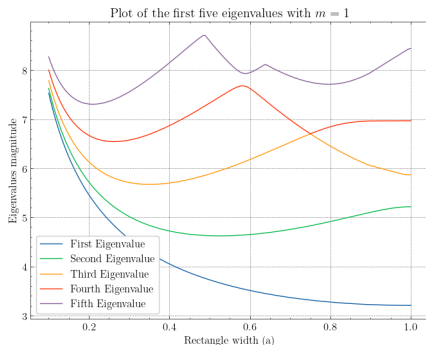


Figura: Comportamento dos primeiros cinco valores próprios para retângulos de perímetro 4, comprimento  $a$  e  $m = 1$ .

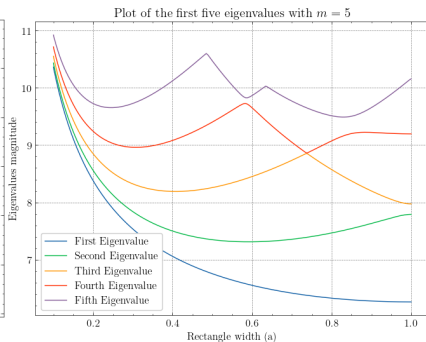


Figura: Comportamento dos primeiros cinco valores próprios para retângulos de perímetro 4, comprimento  $a$  e  $m = 5$ .

# Simulações Numéricas (operador de Dirac)

Resultados para quadriláteros com área fixa e  $m = 1$ :

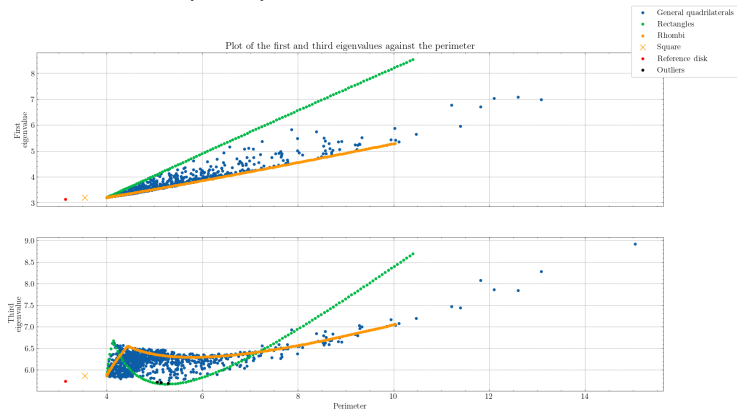


Figura: Resultados para os três primeiros valores próprios de quadriláteros aleatórios em função do perímetro para  $m = 1$ . A preto, encontram-se representados os domínios cujos terceiro valor próprio é menos que o terceiro valor próprio do disco.

# Simulações Numéricas (operador de Dirac)

Rácio entre  $\lambda_2$  e  $\lambda_1$  para  $m = 1$ .

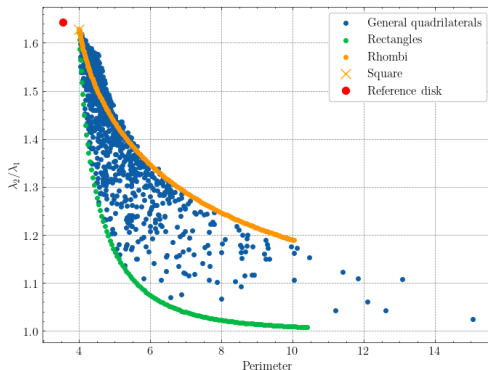


Figura: Rácio  $\frac{\lambda_2}{\lambda_1}$  em função do perímetro de quadriláteros aleatórios, para  $m = 1$ .



# Simulações Numéricas (operador de Dirac)

De forma a abordar a conjectura para triângulos, consideramos a seguinte região de triângulos admissíveis:

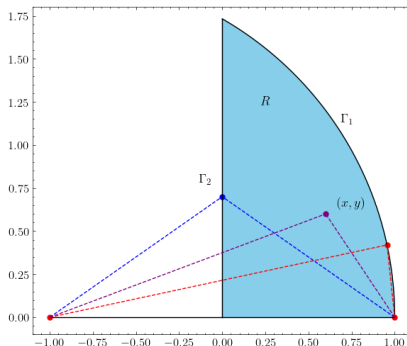


Figura: Espaço de configuração de regiões admissíveis (representada por  $R$ ). A linha vermelha a tracejado representa um triângulo *subequilátero*; a tracejado azul, um triângulo *superequilátero*.

# Simulações Numéricas (operador de Dirac)

Resultados para triângulos com área fixa e  $m = 1$ :

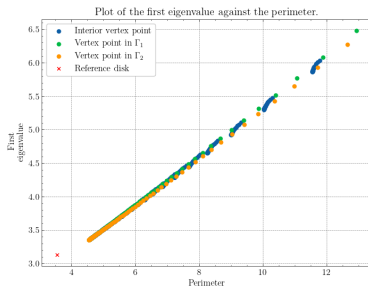


Figura: Resultado para o primeiro valor próprio de triângulos admissíveis em função do perímetro para  $m = 1$ .

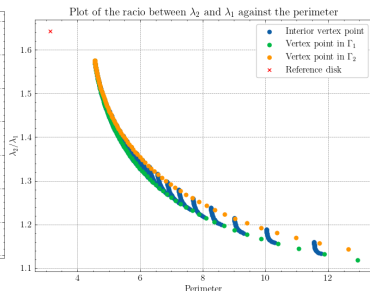


Figura: Ratio between the first two eigenvalues  $\frac{\lambda_2}{\lambda_1}$  for triangular domains.

# Simulações Numéricas (operador de Dirac)

Resultados para polígonos de  $n$  lados com área fixa e  $m = 1$ :

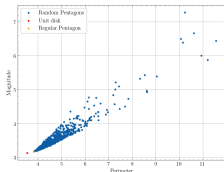


Figura: Simulações numéricas para o primeiro valor próprio de pentágonos aleatórios.

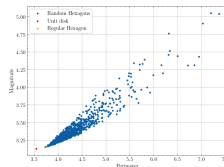


Figura: Simulações numéricas para o primeiro valor próprio de hexágonos aleatórios.

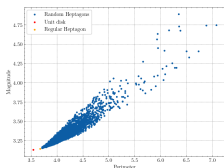


Figura: Simulações numéricas para o primeiro valor próprio de heptágonos aleatórios.

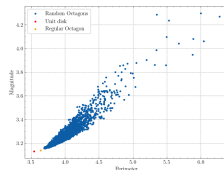


Figura: Simulações numéricas para o primeiro valor próprio de octógonos aleatórios.

# Simulações Numéricas (operador de Dirac)

Por fim, procuramos a forma ótima para o terceiro valor próprio, provando não ser o disco.

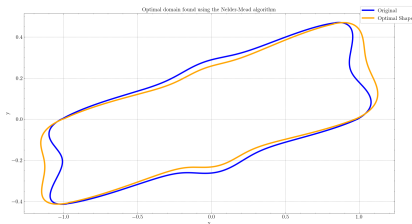


Figura: Domínio ótimo  $\Omega^*$  (a laranja) e o domínio original (a azul) usado para iniciar o método de Nelder-Mead.

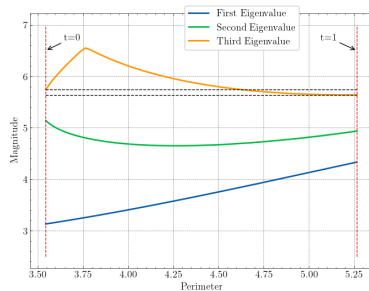


Figura: Os primeiros três valores próprios dos domínios definidos através da soma de Minkowski entre o disco e o domínio ótimo  $\Omega^*$ .

# Simulações Numéricas (problema de transmissão)

Transformamos o problema de transmissão numa EDP homogênea

$$\begin{cases} -\Delta u_i^H = 0, & \text{em } \Omega_i \\ u_1^H - u_2^H = u_2^{NH} - u_1^{NH}, & \text{em } \gamma \\ k_1 \frac{\partial u_1^H}{\partial \mathbf{n}_1} - k_2 \frac{\partial u_2^H}{\partial \mathbf{n}_1} = k_2 \frac{\partial u_2^{NH}}{\partial \mathbf{n}_1} - k_1 \frac{\partial u_1^{NH}}{\partial \mathbf{n}_1}, & \text{em } \gamma \\ u_i^H = -u_i^{NH}, & \text{em } \Gamma_i, \end{cases}$$

onde  $k_1$  e  $k_2$  são coeficientes materiais.

A solução final pode ser recuperada obtendo uma solução não homogênea dada por

$$u_i = u_i^H + u_i^{NH}, \quad i = 1, 2.$$

# Simulações Numéricas (problema de transmissão)

Transformamos o problema de transmissão numa EDP homogênea

$$\begin{cases} -\Delta u_i^H = 0, & \text{em } \Omega_i \\ u_1^H - u_2^H = u_2^{NH} - u_1^{NH}, & \text{em } \gamma \\ k_1 \frac{\partial u_1^H}{\partial \mathbf{n}_1} - k_2 \frac{\partial u_2^H}{\partial \mathbf{n}_1} = k_2 \frac{\partial u_2^{NH}}{\partial \mathbf{n}_1} - k_1 \frac{\partial u_1^{NH}}{\partial \mathbf{n}_1}, & \text{em } \gamma \\ u_i^H = -u_i^{NH}, & \text{em } \Gamma_i, \end{cases}$$

onde  $k_1$  e  $k_2$  são coeficientes materiais.

A solução final pode ser recuperada obtendo uma solução não homogênea dada por

$$u_i = u_i^H + u_i^{NH}, \quad i = 1, 2.$$

# Simulações Numéricas (problema de transmissão)

O erro é calculado descretizando a norma de  $L^2$  na *Root mean squared error* (RMSE) dada por

$$\|u - \tilde{u}\| = \sqrt{\frac{1}{\#\mathcal{I}} \sum_{z \in \mathcal{I}} |u(z) - \tilde{u}(z)|^2},$$

onde medimos os erros de consistência

- $\|\tilde{u}_i - 0\|_{L^2(\Gamma_i)}$ ,  $i = 1, 2$ : erro de colocação na fronteira;
- $e_\gamma^0 = \|\tilde{u}_1 - \tilde{u}_2\|_{L^2(\gamma)}$ ,  $i = 1, 2$ :  $L^2$  erro de  $\tilde{u}$  ao longo de  $\gamma$ ;
- $e_\gamma^1 = \|k_1 \partial_n \tilde{u}_1 - k_2 \partial_n \tilde{u}_2\|_{L^2(\gamma)}$ ,  $i = 1, 2$ :  $L^2$  erro de  $\partial_n \tilde{u}$  ao longo de  $\gamma$ .

# Simulações Numéricas (problema de transmissão)

O erro é calculado descretizando a norma de  $L^2$  na *Root mean squared error* (RMSE) dada por

$$\|u - \tilde{u}\| = \sqrt{\frac{1}{\#\mathcal{I}} \sum_{z \in \mathcal{I}} |u(z) - \tilde{u}(z)|^2},$$

onde medimos os erros de consistência

- $\|\tilde{u}_i - 0\|_{L^2(\Gamma_i)}$ ,  $i = 1, 2$ : erro de colocação na fronteira;
- $e_\gamma^0 = \|\tilde{u}_1 - \tilde{u}_2\|_{L^2(\gamma)}$ ,  $i = 1, 2$ :  $L^2$  erro de  $\tilde{u}$  ao longo de  $\gamma$ ;
- $e_\gamma^1 = \|k_1 \partial_n \tilde{u}_1 - k_2 \partial_n \tilde{u}_2\|_{L^2(\gamma)}$ ,  $i = 1, 2$ :  $L^2$  erro de  $\partial_n \tilde{u}$  ao longo de  $\gamma$ .



# Simulações Numéricas (problema de transmissão)

Resultados para retângulos:

| $k_1$ value | Boundary Error         |                        | Interface Errors       |                        |
|-------------|------------------------|------------------------|------------------------|------------------------|
|             | Domain 1               | Domain 2               | $e_\gamma^0$           | $e_\gamma^1$           |
| 1           | $7.775 \times 10^{-8}$ | $7.779 \times 10^{-8}$ | $4.732 \times 10^{-9}$ | $7.589 \times 10^{-9}$ |
| 2           | $4.398 \times 10^{-8}$ | $8.614 \times 10^{-8}$ | $2.499 \times 10^{-6}$ | $7.868 \times 10^{-8}$ |
| 5           | $2.181 \times 10^{-8}$ | $1.036 \times 10^{-7}$ | $3.838 \times 10^{-6}$ | $1.551 \times 10^{-7}$ |

Tabela: Erros de consistência na fronteira e na interface  $\gamma$ .

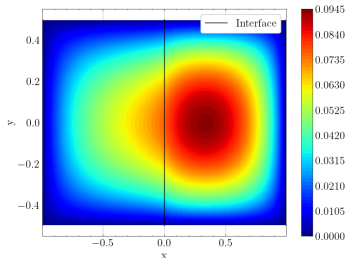


Figura: Simulações numéricas para  $k_1 = 2$ .

# Simulações Numéricas (problema de transmissão)

Resultados para uma L-shape com interface no eixo de simetria:

| $k_1$ value | Boundary Error         |                        | Interface Errors       |                        |
|-------------|------------------------|------------------------|------------------------|------------------------|
|             | Domain 1               | Domain 2               | $e_\gamma^0$           | $e_\gamma^1$           |
| 1           | $1.812 \times 10^{-4}$ | $2.060 \times 10^{-4}$ | $7.305 \times 10^{-3}$ | $8.018 \times 10^{-5}$ |
| 2           | $1.398 \times 10^{-4}$ | $9.729 \times 10^{-5}$ | $5.986 \times 10^{-4}$ | $5.505 \times 10^{-5}$ |
| 5           | $7.096 \times 10^{-5}$ | $3.030 \times 10^{-5}$ | $1.528 \times 10^{-3}$ | $4.348 \times 10^{-5}$ |

Tabela: Erros de consistência na fronteira e na interface  $\gamma$ .

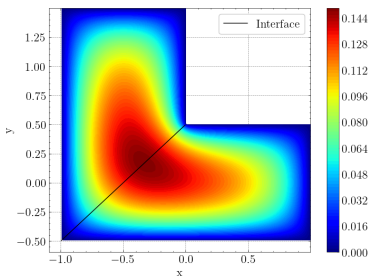


Figura: Simulações numéricas para  $k_1 = 1$ .

# Simulações Numéricas (problema de transmissão)

Resultados para uma L-shape com interface no eixo de simetria, após enriquecimento de base usando soluções particulares do tipo Dirichlet-Neumann ( $p_1$ ) e Neumann-Dirichlet ( $p_2 = (0, 1)$ ):

| $p_1$ values | $k_1$ value | Boundary Error         |                        | Interface Errors      |                        |
|--------------|-------------|------------------------|------------------------|-----------------------|------------------------|
|              |             | Domain 1               | Domain 2               | $e_\gamma^0$          | $e_\gamma^1$           |
| 0, 1         | 1           | $2.965 \times 10^{-5}$ | $7.907 \times 10^{-5}$ | $2.94 \times 10^{-3}$ | $2.624 \times 10^{-5}$ |
|              | 2           | $2.203 \times 10^{-5}$ | $6.657 \times 10^{-5}$ | $1.86 \times 10^{-3}$ | $2.068 \times 10^{-5}$ |
|              | 5           | $2.203 \times 10^{-5}$ | $6.657 \times 10^{-5}$ | $1.86 \times 10^{-3}$ | $2.068 \times 10^{-5}$ |
| -1, 0, 1     | 1           | $8.627 \times 10^{-6}$ | $4.132 \times 10^{-5}$ | $7.68 \times 10^{-4}$ | $6.876 \times 10^{-6}$ |
|              | 2           | $7.333 \times 10^{-6}$ | $2.791 \times 10^{-5}$ | $6.01 \times 10^{-4}$ | $2.555 \times 10^{-5}$ |
|              | 5           | $4.271 \times 10^{-6}$ | $1.118 \times 10^{-5}$ | $2.69 \times 10^{-4}$ | $4.166 \times 10^{-5}$ |
| -2, -1, 0, 1 | 1           | $3.898 \times 10^{-6}$ | $5.975 \times 10^{-6}$ | $1.44 \times 10^{-3}$ | $2.505 \times 10^{-6}$ |
|              | 2           | $2.584 \times 10^{-6}$ | $2.514 \times 10^{-6}$ | $9.69 \times 10^{-4}$ | $1.048 \times 10^{-5}$ |
|              | 5           | $1.119 \times 10^{-6}$ | $6.838 \times 10^{-7}$ | $4.89 \times 10^{-4}$ | $1.106 \times 10^{-5}$ |

Tabela: Erros de consistência na fronteira e na interface  $\gamma$  após enriquecimento de base com soluções particulares.

# Conclusões e trabalho futuro (operador de Dirac):

- Provámos a não existência de variáveis separáveis usando coordenadas polares centradas num canto;
- Encontrámos evidência numérica que sustenta as conjecturas de Faber-Krahn e Ashbaugh-Benguria em várias classes de domínios;
- Expusemos a dependência do espectro do operador de Dirac na massa  $m$ ;
- Trabalho futuro:
  - Resultados para outros valores próprios (por exemplo,  $\lambda_2(\Omega)$ );
  - Otimização de forma em domínios desconexos.

# Conclusões e trabalho futuro (operador de Dirac):

- Provámos a não existência de variáveis separáveis usando coordenadas polares centradas num canto;
- Encontrámos evidência numérica que sustenta as conjecturas de Faber-Krahn e Ashbaugh-Benguria em várias classes de domínios;
- Expusemos a dependência do espectro do operador de Dirac na massa  $m$ ;
- Trabalho futuro:
  - Resultados para outros valores próprios (por exemplo,  $\lambda_2(\Omega)$ );
  - Otimização de forma em domínios desconexos.

# Conclusões e trabalho futuro (operador de Dirac):

- Provámos a não existência de variáveis separáveis usando coordenadas polares centradas num canto;
- Encontrámos evidência numérica que sustenta as conjecturas de Faber-Krahn e Ashbaugh-Benguria em várias classes de domínios;
- Expusemos a dependência do espectro do operador de Dirac na massa  $m$ ;
- Trabalho futuro:
  - Resultados para outros valores próprios (por exemplo,  $\lambda_2(\Omega)$ );
  - Otimização de forma em domínios desconexos.

# Conclusões e trabalho futuro (operador de Dirac):

- Provámos a não existência de variáveis separáveis usando coordenadas polares centradas num canto;
- Encontrámos evidência numérica que sustenta as conjecturas de Faber-Krahn e Ashbaugh-Benguria em várias classes de domínios;
- Expusemos a dependência do espectro do operador de Dirac na massa  $m$ ;
- Trabalho futuro:
  - Resultados para outros valores próprios (por exemplo,  $\lambda_2(\Omega)$ );
  - Otimização de forma em domínios desconexos.

# Conclusões e trabalho futuro (operador de Dirac):

- Provámos a não existência de variáveis separáveis usando coordenadas polares centradas num canto;
- Encontrámos evidência numérica que sustenta as conjecturas de Faber-Krahn e Ashbaugh-Benguria em várias classes de domínios;
- Expusemos a dependência do espectro do operador de Dirac na massa  $m$ ;
- Trabalho futuro:
  - Resultados para outros valores próprios (por exemplo,  $\lambda_2(\Omega)$ );
  - Otimização de forma em domínios desconexos.



# Conclusões e trabalho futuro (Problema de decomposição com condições de transmissão):

- Provámos a equivalência entre as formulações fracas da equação de Poisson com fonte descontínua e o problema de decomposição, justificando a aplicação do Método das Soluções Fundamentais;
- Foi utilizada, pela primeira vez, enriquecimento de base neste tipo de problemas, diminuindo os erros de consistência em duas ordens de magnitude;
- Trabalho futuro:
  - Apresentar uma estimativa *a posteriori* para o Método das Soluções Fundamentais para problemas de decomposição;
  - Estudar melhores formas de enriquecimento.

# Conclusões e trabalho futuro (Problema de decomposição com condições de transmissão):

- Provámos a equivalência entre as formulações fracas da equação de Poisson com fonte descontínua e o problema de decomposição, justificando a aplicação do Método das Soluções Fundamentais;
- Foi utilizada, pela primeira vez, enriquecimento de base neste tipo de problemas, diminuindo os erros de consistência em duas ordens de magnitude;
- Trabalho futuro:
  - Apresentar uma estimativa *a posteriori* para o Método das Soluções Fundamentais para problemas de decomposição;
  - Estudar melhores formas de enriquecimento.

# Conclusões e trabalho futuro (Problema de decomposição com condições de transmissão):

- Provámos a equivalência entre as formulações fracas da equação de Poisson com fonte descontínua e o problema de decomposição, justificando a aplicação do Método das Soluções Fundamentais;
- Foi utilizada, pela primeira vez, enriquecimento de base neste tipo de problemas, diminuindo os erros de consistência em duas ordens de magnitude;
- Trabalho futuro:
  - Apresentar uma estimativa *a posteriori* para o Método das Soluções Fundamentais para problemas de decomposição;
  - Estudar melhores formas de enriquecimento.

# Conclusões e trabalho futuro (Problema de decomposição com condições de transmissão):

- Provámos a equivalência entre as formulações fracas da equação de Poisson com fonte descontínua e o problema de decomposição, justificando a aplicação do Método das Soluções Fundamentais;
- Foi utilizada, pela primeira vez, enriquecimento de base neste tipo de problemas, diminuindo os erros de consistência em duas ordens de magnitude;
- Trabalho futuro:
  - Apresentar uma estimativa *a posteriori* para o Método das Soluções Fundamentais para problemas de decomposição;
  - Estudar melhores formas de enriquecimento.

Obrigado por terem assistido!  
Perguntas?

# Referências I

- [AC05] CJS Alves e CS Chen. “A new method of fundamental solutions applied to nonhomogeneous elliptic problems”. Em: *Advances in Computational Mathematics* 23 (2005), pp. 125–142.
- [Alv09] Carlos JS Alves. “On the choice of source points in the method of fundamental solutions”. Em: *Engineering Analysis with Boundary Elements* 33.12 (2009), pp. 1348–1361.
- [AV10] Pedro RS Antunes e Svilen S Valtchev. “A meshfree numerical method for acoustic wave propagation problems in planar domains with corners and cracks”. Em: *Journal of Computational and Applied Mathematics* 234.9 (2010), pp. 2646–2662.

## Referências II

- [Ben+17] Rafael D Benguria et al. “Spectral gaps of Dirac operators describing graphene quantum dots”. Em: *Mathematical Physics, Analysis and Geometry* 20 (2017), pp. 1–12.
- [BK22] Philippe Briet e David Krejčířík. “Spectral optimization of Dirac rectangles”. Em: *Journal of Mathematical Physics* 63.1 (2022), p. 013502.
- [BT05] Timo Betcke e Lloyd N Trefethen. “Reviving the method of particular solutions”. Em: *SIAM review* 47.3 (2005), pp. 469–491.
- [GSV19] Tom Gustafsson, Rolf Stenberg e Juha Videman. “Error analysis of Nitsche’s mortar method”. Em: *Numerische Mathematik* 142 (2019), pp. 973–994.

## Referências III

- [Hen06] Antoine Henrot. *Extremum problems for eigenvalues of elliptic operators*. Springer Science & Business Media, 2006.
- [KLL19] David Krejčířík, Simon Larson e Vladimir Lotoreichik. *Problem List of the AIM Workshop*. 2019. URL: <http://aimpl.org/shapesurface/>.
- [QV99] Alfio Quarteroni e Alberto Valli. *Domain decomposition methods for partial differential equations*. BOOK. Oxford University Press, 1999.
- [Vu23] Tuyen Vu. “Spectral inequality for Dirac right triangles”. Em: *arXiv preprint arXiv:2302.13040* (2023).



# O Método das Soluções Fundamentais

Seja  $\mathcal{L}$  um operador linear elíptico. Dizemos que uma distribuição  $\Phi \in \mathcal{D}^*(\mathbb{R}^d)$  é a solução fundamental da equação diferencial

$$\mathcal{L}u(x) = 0, \text{ em } \mathbb{R}^d$$

se  $\Phi$  satisfaz

$$\mathcal{L}\Phi = \delta, \text{ em } \mathbb{R}^d$$

no sentido das distribuições, onde  $\delta$  é um Delta de Dirac.

# O Método das Soluções Fundamentais

Sejam  $x_1, \dots, x_M$  pontos de colocação sobre  $\Gamma$  e  $y_1, \dots, y_N$  pontos fonte sobre  $\hat{\Gamma}$ .

Assumindo condições de fronteira de Dirichlet  $u = g$  em  $\Gamma$ , os coeficientes  $\alpha$  são determinados resolvendo o sistema

$$\underbrace{\begin{bmatrix} \Phi(x_1, y_1) & \cdots & \Phi(x_1, y_N) \\ \vdots & \ddots & \vdots \\ \Phi(x_M, y_1) & \cdots & \Phi(x_M, y_N) \end{bmatrix}}_A \underbrace{\begin{bmatrix} \alpha_1 \\ \vdots \\ \alpha_N \end{bmatrix}}_{\alpha} = \underbrace{\begin{bmatrix} g_1 \\ \vdots \\ g_M \end{bmatrix}}_g$$

$M \times N \qquad N \times 1 \qquad M \times 1$

onde  $g_i = g(x_i)$ .

Considere-se o espaço funcional

$$\mathcal{S}(\Gamma, \hat{\Gamma}) = \text{span}\{\Phi(x - y)|_{x \in \Gamma} : y \in \hat{\Gamma}\}.$$

Neste trabalho, apresentamos uma variação da prova do resultado de densidade do MSF<sup>1</sup>.

#### Teorema

*Seja  $\Omega \subset \mathbb{R}^2$  um conjunto aberto, limitado e fronteira  $C^2$ . Então,  $\mathcal{S}(\Gamma, \hat{\Gamma}) \oplus \mathbb{R}$  é denso em  $H^{\frac{1}{2}}(\Gamma)$ .*

---

<sup>1</sup>Válido para outras condições de fronteira, para as equações de Laplace e Helmholtz.

Considere-se o espaço funcional

$$\mathcal{S}(\Gamma, \hat{\Gamma}) = \text{span}\{\Phi(x - y)|_{x \in \Gamma} : y \in \hat{\Gamma}\}.$$

Neste trabalho, apresentamos uma variação da prova do resultado de densidade do MSF<sup>1</sup>.

### Teorema

*Seja  $\Omega \subset \mathbb{R}^2$  um conjunto aberto, limitado e fronteira  $C^2$ . Então,  $\mathcal{S}(\Gamma, \hat{\Gamma}) \oplus \mathbb{R}$  é denso em  $H^{\frac{1}{2}}(\Gamma)$ .*

---

<sup>1</sup>Válido para outras condições de fronteira, para as equações de Laplace e Helmholtz.

O principal resultado relativo ao problema de decomposição refere-se à equivalência entre o problema de transmissão e a equação de Poisson com uma função fonte descontínua.

Seja

$$f = \begin{cases} \frac{f_1}{k_1}, & \text{in } \Omega_1 \\ \frac{f_2}{k_2}, & \text{in } \Omega_2. \end{cases}$$

Então, a formulação fraca da equação de Poisson

$$\begin{cases} -\Delta u = f, & \text{em } \Omega \\ u = 0, & \text{em } \partial\Omega \end{cases}$$

lê-se

$$\text{encontrar } u \in H_0^1(\Omega) : \int_{\Omega} \nabla u \cdot \nabla v dx = \int_{\Omega} f v dx, \forall v \in H_0^1.$$

O principal resultado relativo ao problema de decomposição refere-se à equivalência entre o problema de transmissão e a equação de Poisson com uma função fonte descontínua.

Seja

$$f = \begin{cases} \frac{f_1}{k_1}, & \text{in } \Omega_1 \\ \frac{f_2}{k_2}, & \text{in } \Omega_2. \end{cases}$$

Então, a formulação fraca da equação de Poisson

$$\begin{cases} -\Delta u = f, & \text{em } \Omega \\ u = 0, & \text{em } \partial\Omega \end{cases}$$

lê-se

$$\text{encontrar } u \in H_0^1(\Omega) : \int_{\Omega} \nabla u \cdot \nabla v dx = \int_{\Omega} f v dx, \forall v \in H_0^1.$$

Para a formulação fraca do problema de decomposição, começamos por definir os seguintes espaços de Sobolev e formas bilineares:

$$V_i = \{v_i \in H^1(\Omega_i) : v_i|_{\partial\Omega \cap \partial\Omega_i} = 0\}$$

$$, V_i^0 = H_0^1(\Omega_i),$$

$$\Lambda = \{\eta \in H^{\frac{1}{2}}(\gamma) : \eta = v|_{\gamma} \text{ para algum } v \in V^0\},$$

$$a_i(u_i, v_i) = \int_{\Omega_i} \nabla u_i \cdot \nabla v_i,$$

$$(f_i, v_i) = \int_{\Omega_i} f_i v_i dx \quad (\text{produto interno de } L^2(\Omega_i)).$$

## Proposição

*A formulação fraca do problema de transmissão pode ser lida como:*

*encontrar  $u_1 \in V_1, u_2 \in V_2$  tais que*

$$\left\{ \begin{array}{ll} a_1(u_1, v_1) = (\frac{f_1}{k_1}, v_1), & \forall v_1 \in V_1^0 \\ a_2(u_2, v_2) = (\frac{f_2}{k_2}, v_2), & \forall v_2 \in V_2^0 \\ u_1 = u_2, & \text{em } \gamma \\ a_1(k_1 u_1, P_1 \mu) + a_2(k_2 u_2, P_2 \mu) & \\ = (f_1, P_1 \mu) + (f_2, P_2 \mu), & \forall \mu \in \Lambda \end{array} \right.$$



Seja:

- $N^{(i)}$  o número de pontos fonte para o domínio  $\Omega_i$ , tal que  $N = N^{(1)} + N^{(2)}$ ;
- $M^{(i)}$  o número de pontos de colocação na fronteira  $x_m^{(i)}$  para cada  $\Omega_i$  e  $M = M^{(1)} + M^{(2)}$ ;
- $Q$  o número de pontos de colocação na interface  $z_q \in \gamma$ .

Resolvemos um sistema da forma  $A\alpha = b$  com

$$A = \begin{bmatrix} \left[ \Phi \left( x_m^{(1)} - y_j^{(1)} \right) \right]_{M^{(1)} \times N^{(1)}} & [0]_{M^{(1)} \times N^{(2)}} \\ [0]_{M^{(2)} \times N^{(1)}} & \left[ \Phi \left( x_m^{(2)} - y_j^{(2)} \right) \right]_{M^{(2)} \times N^{(2)}} \\ \left[ \Phi \left( z_q - y_j^{(1)} \right) \right]_{Q \times N^{(1)}} & \left[ -\Phi \left( z_q - y_j^{(2)} \right) \right]_{Q \times N^{(2)}} \\ \left[ k_1 \partial_n \Phi \left( z_q - y_j^{(1)} \right) \right]_{Q \times N^{(1)}} & \left[ -k_2 \partial_n \Phi \left( z_q - y_j^{(2)} \right) \right]_{Q \times N^{(2)}} \end{bmatrix},$$

e

$$b = \begin{bmatrix} \left[ -u_1^{NH}(x_m^{(1)}) \right]_{M^{(1)} \times 1} \\ \left[ -u_2^{NH}(x_m^{(2)}) \right]_{M^{(2)} \times 1} \\ \left[ u_2^{NH}(z_q) - u_1^{NH}(z_q) \right]_{Q \times 1} \\ \left[ k_2 \partial_n u_2^{NH}(z_q) - k_1 \partial_n u_1^{NH}(z_q) \right]_{Q \times 1} \end{bmatrix}.$$